

# Wykorzystanie algorytmu Proppa-Wilsona w modelu Isinga

Janek Wojtas, Oskar Werner

# Spis treści

<b>1</b>	<b>Abstrakt</b>	<b>2</b>
<b>2</b>	<b>Model Isinga</b>	<b>2</b>
2.1	Motywacja . . . . .	2
2.2	Model matematyczny . . . . .	2
2.3	Cel projektu . . . . .	3
2.4	Algorytmiczne rozwiązanie . . . . .	3
<b>3</b>	<b>Omówienie algorytmu</b>	<b>3</b>
3.1	Funkcje Pomocnicze . . . . .	3
3.2	Algorytm . . . . .	7
<b>4</b>	<b>Wyniki</b>	<b>8</b>
<b>5</b>	<b>Bibliografia</b>	<b>14</b>

# 1 Abstrakt

Przedstawienie implementacji algorytmu Proppa-Wilsona w modelu Isinga i omówienie wyników.

## 2 Model Isinga

### 2.1 Motywacja

Motywacją do powstania modelu Isinga było przeprowadzenie następującego doświadczenia:

Wyobraźmy sobie, że dysponujemy kulką wykonaną z materiału wykazującego własności ferromagnetyczne (np. z żelaza). Kulkę zawieszamy na sznurku, a w pewnej odległości od niej ustawiamy magnes. Pod magnesem zaś znajduje się świeca (rys.). Podczas przeprowadzenia doświadczenia zaobserwowano ciekawą własność. Po przyciągnięciu przez magnes owej kulki okazywało się, że w wyniku ogrzania ciepłem pochodzącym od świecy kulka wracała do swojego pierwotnego położenia - traciła właściwości magnetyczne. Formalnie, pod wpływem ciepła kulka stawała się paramagnetykiem.

W celu analizowania tego zjawiska powstał model Isinga.

### 2.2 Model matematyczny

Z fizycznego punktu widzenia zakładamy, że dysponujemy ferromagnetykiem, umieszczonym w izolowanym rezerwuarze termicznym, o stałej temperaturze  $T = \text{const}$ . Dla uproszczenia przyjmujemy również, że ferromagnetyk zbudowany jest wyłącznie z atomów oraz węzłów pomiędzy atomami.

Patrząc na problem od strony matematycznej, rozpatrujemy graf  $G = (V, E)$ , gdzie  $V$  jest zbiorem wierzchołków reprezentujących atomy, zaś  $E$  zbiorem krawędzi - węzłów. Ponadto, każdemu z wierzchołków przypisujemy pewną wartość  $\sigma_v \in \{-1, 1\}$ , tzw. spin. Wprowadzamy oznaczenie  $\xi \in \{-1, 1\}^N$  jednoznacznie określające konkretny układ spinów w grafie. Energia wybranego układu  $\xi$  zadana jest przez hamiltonian, opisany następującym wzorem:

$$H(\xi) = - \sum_{(i,j) \in E} J_{ij} \sigma_i \sigma_j - \sum_{i \in V} h_i \sigma_i,$$

gdzie  $J_{ij}$  jest wartością oddziaływania  $i$  z  $j$ , zaś  $h_i$  opisuje wartość zewnętrznego pola magnetycznego wierzchołka  $i$ . W niniejszej pracy rozpatrujemy model uproszczony, gdzie  $J_{ij} = J = 1$  dla każdej pary  $(i, j) \in E$  oraz  $h_i = 0$  dla każdego  $i \in V$ . Wówczas wzór redukuje się do postaci:

$$H(\xi) = - \sum_{(i,j) \in E} \sigma_i \sigma_j$$

Energi wpływa bezpośrednio na prawdopodobieństwo pojawienia się układu w określonej temperaturze  $T$ . Ścisłej, prawdopodobieństwo wystąpienia konkretnego układu  $\xi$  jest zadane przez rozkład Boltzmanna:

$$\pi_{G,\beta}(\xi) = \frac{1}{Z_{G,\beta}} \exp\{-\beta H(\xi)\}, \quad (1)$$

gdzie  $Z_{G,\beta} = \sum_{\eta} \exp\{-\beta H(\eta)\}$  jest stałą normującą, zaś  $\beta = \frac{1}{k_B T}$  jest współczynnikiem odwrotnie proporcjonalnym do temperatury otoczenia ( $k_B$  to stała Boltzmanna).

## 2.3 Cel projektu

Celem projektu jest analiza zachowania się układu spinów ferromagnetyka w ustalonym rezerwuarze termicznym. Sprowadza się to do opracowania algorytmu umożliwiającego próbkowanie z zadanego rozkładu  $\pi_{G,\beta}$  dla ustalonego grafu (np. krata, graf pełny) i temperatury otoczenia.

## 2.4 Algorytmiczne rozwiązanie

Bezpośrednie próbkowanie z rozkładu (1) jest zadaniem trudnym. Liczba możliwych układów wynosi  $2^N$ , więc w szczególności dla modelu o dużej liczbie wierzchołków zadanie może być wręcz niewykonalne. Stąd w praktyce, w celu próbkowania z takiego rozkładu korzysta się z metod Monte Carlo - metod opartych na skonstruowaniu nieprzywiedlnego i nieokresowego łańcucha Markowa o rozkładzie stacjonarnym  $\pi_{G,\beta}$ , który zapewnia asymptotyczną zbieżność do zadanego rozkładu. W niniejszej pracy wykorzystany został algorytm Proppa-Wilsona, z którego implementację przeanalizujemy w dalszej części pracy.

# 3 Omówienie algorytmu

## 3.1 Funkcje Pomocnicze

```

1 def num_to_matrix(num, N):
2     n2 = N**2
3     x = bin(num)[2:]
4
5     if len(x) < n2:
6         y = (n2 - len(x)) * '0' + x
7     else:
8         y = x

```

```

9
10     matrix = [int(char) for char in y]
11     matrix = np.array(matrix).reshape(N,N)
12
13     return(matrix)

```

Listing 1: Zamiana liczby w macierz

Funkcja dokonuje zamianę liczby z systemu dziesiętnego na dwójkowy, a następnie konstruuje odpowiednią macierz (reprezentująca stan modelu Isinga). Argumenty:

- num: liczba zapisana w systemie dziesiętnym
- N: wymiar wyjściowej macierzy

```

1 def binary_to_decimal(lista_binarna):
2     num = 0
3     for value in lista_binarna:
4         num = 2 * num + value
5     return num

```

Listing 2: Zamiana systemu dwójkowego na dziesiętny

Funkcja zamienia liczbę w systemie dwójkowym na liczbę w systemie dziesiętnym. Argumenty:

- lista\_binarna: liczba w systemie dwójkowym zapisana w formie listy

```

1 def get_hamiltonian(matrix):
2     kern = np.array([
3         [0,1,0],
4         [1,0,1],
5         [0,1,0]
6     ])
7
8     return((matrix * convolve(matrix, kern, mode = 'constant', cval = 0)).sum←
9     ())

```

Listing 3: Hamiltonian dla kraty

Funkcja oblicza hamiltonian konkretnego stanu modelu Isinga, reprezentowanego przez macierz (dla kraty). Argumenty:

- matrix: macierz spinów reprezentująca stan modelu Isinga

```

1 def get_hamiltonian2(matrix):
2     spin_up_count = matrix[matrix == 1].sum()
3     n2 = (matrix.shape[0])**2
4     if spin_up_count == 0 or spin_up_count == n2:
5         energy = (n2)*(n2-1)/2
6     else:
7         energy = spin_up_count*(spin_up_count-1)/2 + (n2 - spin_up_count)*(n2←
8         - spin_up_count-1)/2 - (n2 - spin_up_count)*spin_up_count

```

```
8 return energy
```

Listing 4: Hamiltonian dla grafu pełnego

Funkcja oblicza hamiltonian konkretnego stanu modelu Isinga, reprezentowanego przez macierz (dla grafu pełnego). Argumenty:

- matrix: macierz spinów reprezentująca stan modelu Isinga

```
1 def get_equilibrium_distribution(N,beta,graph_type):
2     if graph_type == 'krata':
3         g = get_hamiltonian
4     elif graph_type == 'pelny':
5         g = get_hamiltonian2
6     n = 2**(N*N)
7     pi_theoretical = np.zeros(n)
8     Z = 0
9
10    for i in range(n):
11        matrix = num_to_matrix(i,N)
12        matrix[matrix == 0] = -1
13        pi_theoretical[i] = np.exp(beta * g(matrix))
14        Z += pi_theoretical[i]
15
16    pi_theoretical = 1/Z * np.array(pi_theoretical)
17
18
19    return pi_theoretical
```

Listing 5: Znalezienie teoretycznego rozkładu stacjonarnego

Funkcja wyznacza teoretyczny rozkład stacjonarny modelu Isinga na podstawie wzoru

$$\pi_{G,\beta}(\xi) = \frac{1}{Z_{G,\beta}} \exp\{-\beta H(\xi)\}, \quad (2)$$

gdzie  $Z_{G,\beta} = \sum_{\eta} \exp\{-\beta H(\eta)\}$  jest stałą normującą, zaś  $\beta = \frac{1}{k_B T}$  jest współczynnikiem odwrotnie proporcjonalnym do temperatury otoczenia ( $k_B$  to stała Boltzmanna). Argumenty:

- N: wymiar macierzy spinów
- beta: współczynnik  $1/kT$ , gdzie T jest temperaturą rozpatrywanego rezerwuaru termicznego
- graph\_type: argument określający rodzaj modelu. Przyjmuje wartości 'krata' dla kraty i 'pelny' dla grafu pełnego

```
1 def update(beta, x, y, krata):
2     delta = 0
3     if x>0:
4         delta += krata[x-1,y]
5     if x<N-1:
```

```

6     delta += krata[x+1,y]
7     if y>0:
8         delta += krata[x,y-1]
9     if y<N-1:
10        delta += krata[x,y+1]
11
12     return(np.exp(2*beta*(delta))/(np.exp(2*beta*(delta))+1))

```

Listing 6: Próbnik Gibbsa dla Kraty

Funkcja wyznacza wartość funkcji akceptacji próbnika Gibbsa, wykorzystywanego w algorytmie Proppa-Wilsona dla kraty. Argumenty:

- beta: współczynnik  $1/kT$ , gdzie  $T$  jest temperaturą rozpatrywanego rezerwuaru termicznego
- x: współrzędna x-owa w macierzy spinów
- y: współrzędna y-owa w macierzy spinów
- krata: macierz spinów

Funkcja zwraca taką wartość, ponieważ z [1] wiemy, że

$$\pi_{G,\beta}(X(x) = +1 | X(V \setminus \{x\}) = \xi) = \frac{\exp(2\beta(k_+(x, \xi) - k_-(x, \xi)))}{\exp(2\beta(k_+(x, \xi) - k_-(x, \xi))) + 1},$$

gdzie  $\text{delta} = k_+(x, \xi) - k_-(x, \xi)$ , zaś  $k_+(x, \xi)$  i  $k_-(x, \xi)$  to odpowiednio liczba sąsiadów o spinie  $+1$  i liczba sąsiadów o spinie  $-1$  naszego wylosowanego punktu  $x$ .  $V$  to są wierzchołki z modelu Isinga,  $X \in \{-1, +1\}^V$  jest losowym stanem modelu Isinga, a  $\xi \in \{-1, +1\}^{V \setminus x}$  to  $X$  z wyłączeniem punktu  $x$ .

```

1 def update2(beta, x, y, graf, energia_grafu):
2     delta = energia_grafu - graf[x,y]
3
4     return(np.exp(2*beta*(delta))/(np.exp(2*beta*(delta))+1))

```

Listing 7: Próbnik Gibbsa dla grafu pełnego

Funkcja wyznacza wartość funkcji akceptacji próbnika Gibbsa, wykorzystywanego w algorytmie Proppa-Wilsona dla grafu pełnego. Argumenty:

- beta: współczynnik  $1/kT$ , gdzie  $T$  jest temperaturą rozpatrywanego rezerwuaru termicznego
- x: współrzędna x-owa w macierzy spinów
- y: współrzędna y-owa w macierzy spinów
- graf: macierz spinów
- energia\_grafu: suma spinów

Funkcja działa na tej samej zasadzie jak funkcja **update**, jedyna różnica to sposób zliczania spinów sąsiadów wierzchołka  $(x,y)$ .

## 3.2 Algorytm

```
1 N = 2100
2 beta = 0.04
3
4 KrataP = np.ones((N,N))
5 KrataN = -1*np.ones((N,N))
6
7 start = time.time()
8
9 rzuty = [random()]
10
11 while (KrataN == KrataP).all() == False:
12     for i in range(len(rzuty)):
13         x, y = randint(0,N,2)
14         KrataP[x,y] = 1 if rzuty[-(i+1)] < update(beta, x, y, KrataP) else -1
15         KrataN[x,y] = 1 if rzuty[-(i+1)] < update(beta, x, y, KrataN) else -1
16         rzuty +=[random() for i in range(len(rzuty))]
17
18 print('czas:', time.time()-start)
```

Listing 8: Algorytm Proppa- Wilsona

Powyżej prezentujemy implementację algorytmu Proppa-Wilsona dla kraty. Stosujemy tutaj metodę sandwichingu, która sprawia, że algorytm Proppa-Wilsona wymaga puszczenia tylko dwóch łańcuchów markowa - startujących ze stanów o wszystkich spinach równych 1 i wszystkich spinach równych  $-1$  odpowiednio - a nie  $2^k$  łańcuchów, gdzie  $k$  to liczba konfiguracji w modelu Isinga. Z tego względu sandwiching umożliwia nam realizację algorytmu dla dużych  $k$ . Przykładowo, rozpatrzmy model Isinga o macierzy  $2100 \times 2100$  i  $\beta = 0.04$ . Losujemy zmienną losową  $U_{-1}$  z rozkładu jednostajnego na  $[0, 1]$ , a następnie punkt, który chcemy potencjalnie zamienić. Zamiany dokonujemy na podstawie odpowiedniej funkcji akceptacji dla macierzy samych  $+1$  i macierzy samych  $-1$  oddzielnie. Jeśli w chwili 0 łańcuchy markowa startujące z tych macierzy nie znajdą się w tym samym stanie, podwajamy liczbę zmienną losowych  $U$  z rozkładu jednostajnego, jednocześnie pamiętając stare  $U$  i puszczaamy algorytm ponownie. Pełny opis algorytmu znajdziemy w [1], rozdział **The Propp-Wilson Algorithm**.

W powyższym przykładzie dla macierzy  $2100 \times 2100$  kod liczył się 1 godzinę i trzeba było przechować 134217728  $U$  w pamięci.

```
1 N = 40
2 beta = 0.05
3
4 KrataP = np.ones((N,N))
5 KrataN = -1*np.ones((N,N))
6 energiaP = N**2
7 energiaN = -N**2
8 start = time.time()
9
10 rzuty = [random()]
11
12 while (KrataN == KrataP).all() == False:
13     for i in range(len(rzuty)):
14         x, y = randint(0,N,2)
15         KrataP_xy = KrataP[x,y]
```



```

16     KrataN_xy = KrataN[x,y]
17     KrataP[x,y] = 1 if rzuty[-(i+1)] < update2(beta, x, y, KrataP, ←
energiaP) else -1
18     KrataN[x,y] = 1 if rzuty[-(i+1)] < update2(beta, x, y, KrataN, ←
energiaN) else -1
19
20     if KrataP_xy != KrataP[x,y]:
21         energiaP += 2*KrataP[x,y]
22     if KrataN_xy != KrataN[x,y]:
23         energiaN += 2*KrataN[x,y]
24
25     rzuty +=[random() for i in range(len(rzuty))]
26
27 print('czas:', time.time()-start)

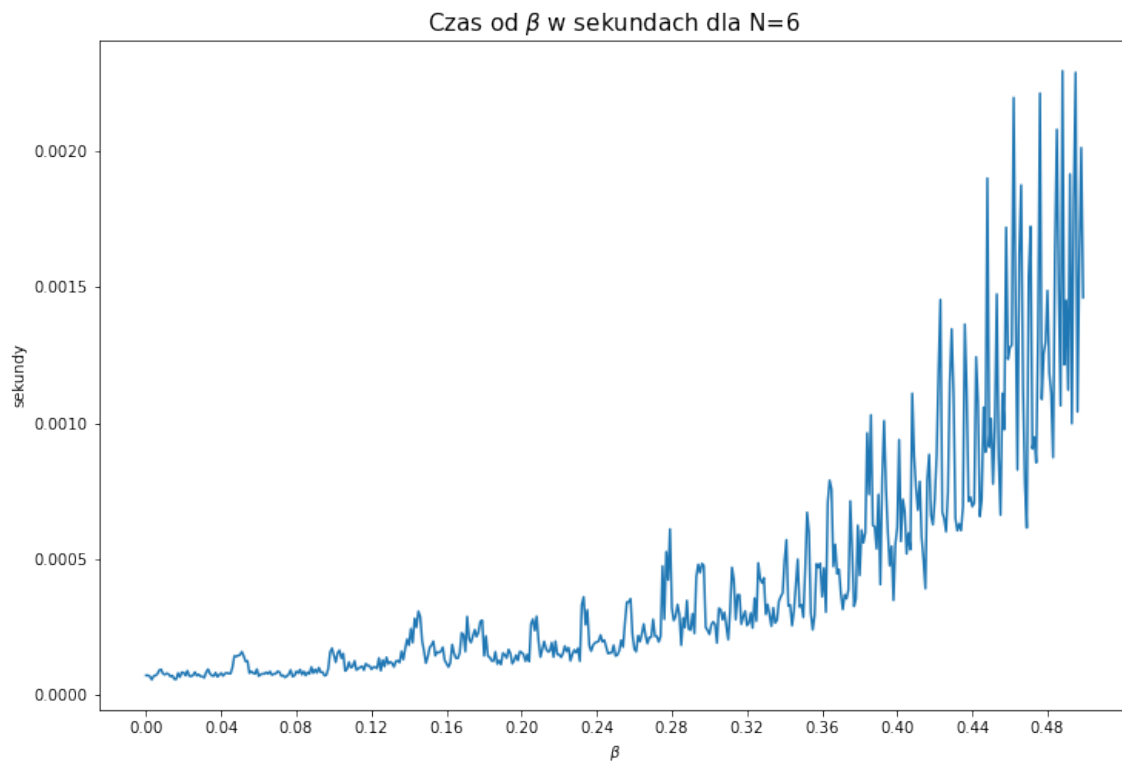
```

Listing 9: Algorytm Proppa Wilsona

Powyżej przedstawiamy kod algorytmu Proppa-Wilsona dla grafu pełnego. Działa on na tej samej zasadzie co poprzedni, jedyną różnicą jest przechowywanie dodatkowych zmiennych reprezentujących energię odpowiednich układów, która jest potrzebna do wyznaczenia sumy spinów sąsiadów w kolejnych iteracjach.

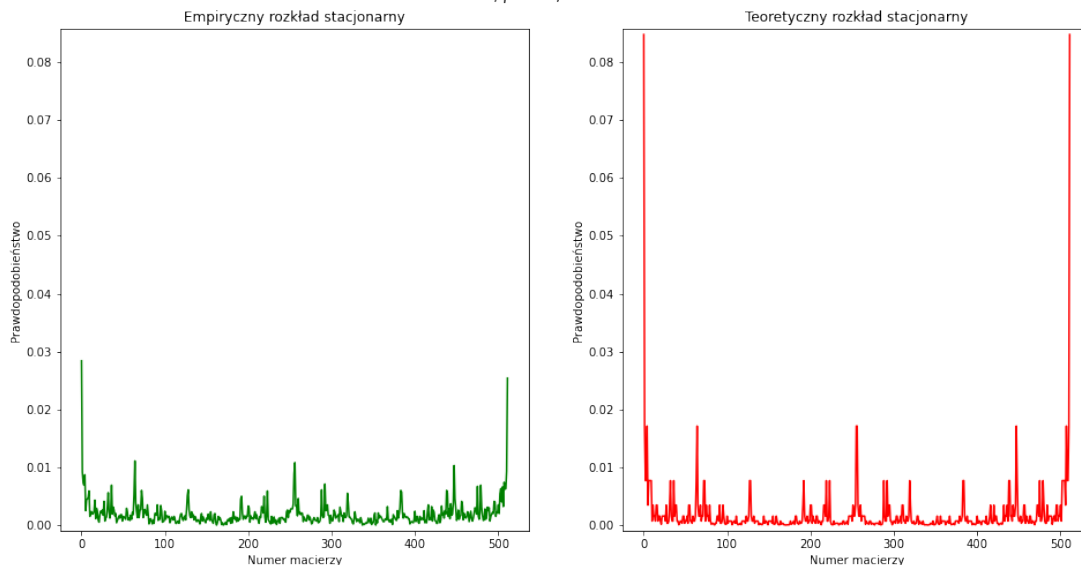
## 4 Wyniki

W niniejszej sekcji przedstawiamy wykresy, które prezentują działanie algorytmu i pozwalają na analizę własności modelu Isinga na podstawie jego parametrów.

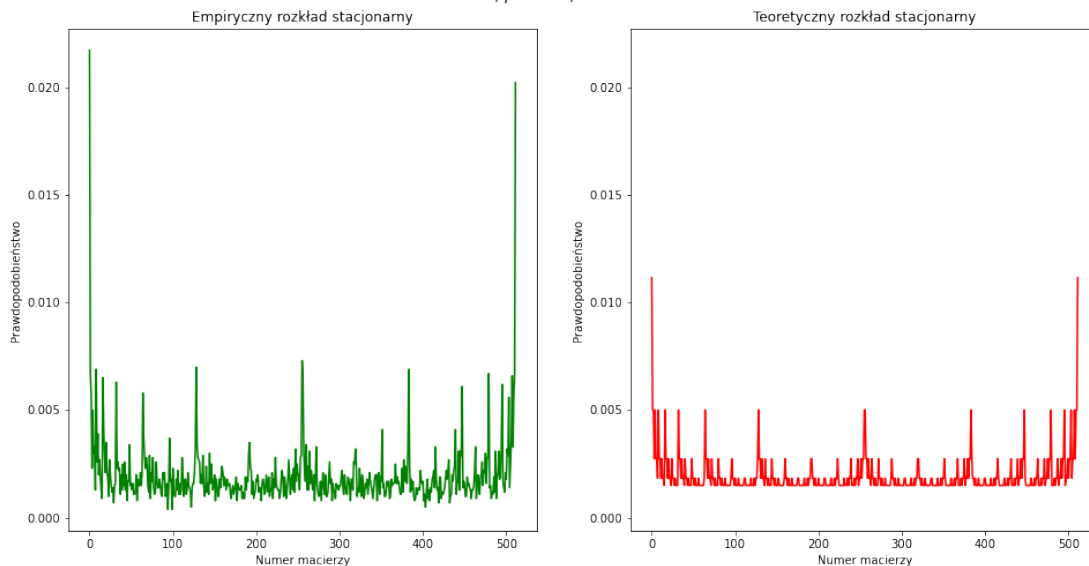


Z powyższego wykresu od razu widać, że wraz ze wzrostem  $\beta$ , czas potrzebny do symulacji łańcucha rośnie wykładniczo. Z teorii wiemy, że od  $\beta = 0.441$  czas na wykonanie algorytmu powinien drastycznie wzrosnąć i to też widzimy na wykresie.

Porównanie empirycznego rozkładu stacjonarnego z teoretycznym rozkładem stacjonarnym dla grafu pełnego  
 $N=3, \beta=0.2, m = 10000$



Porównanie empirycznego rozkładu stacjonarnego z teoretycznym rozkładem stacjonarnym dla grafu pełnego  
 $N=3, \beta=0.05, m = 10000$

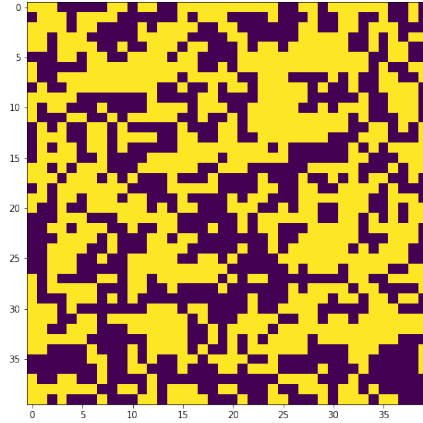


Co prawda celem projektu nie jest znajdowanie dokładnego rozkładu stacjonarnego, tylko możliwość próbkowania z niego, ale chcieliśmy sprawdzić, czy nasz kod rzeczywiście działa. Dla macierzy  $3 \times 3$  istnieje 512 stanów i wyznaczyliśmy prawdopodobieństwo każdego z nich za pomocą wzoru, wykres po prawej przedstawia te prawdopodobieństwa. Puściliśmy nasz kod 10000 razy i znormalizowaliśmy wyniki występowania łańcucha na końcu algorytmu. Jak widać, rozkłady prawdopodobieństwa mają podobny kształt, więc dobrze zaimplementowaliśmy algorytm.

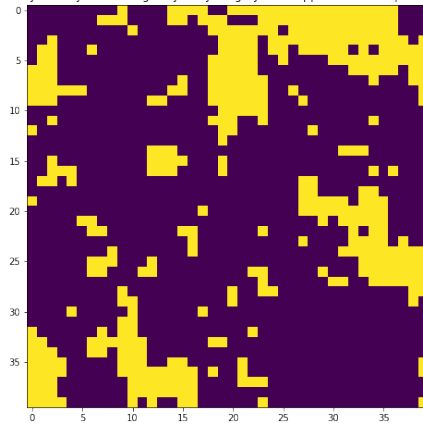
Przykładowy model Isinga uzyskany z algorytmu Proppa-Wilsona dla  $\beta=0.05$



Przykładowy model Isinga uzyskany z algorytmu Proppa-Wilsona dla  $\beta=0.2$

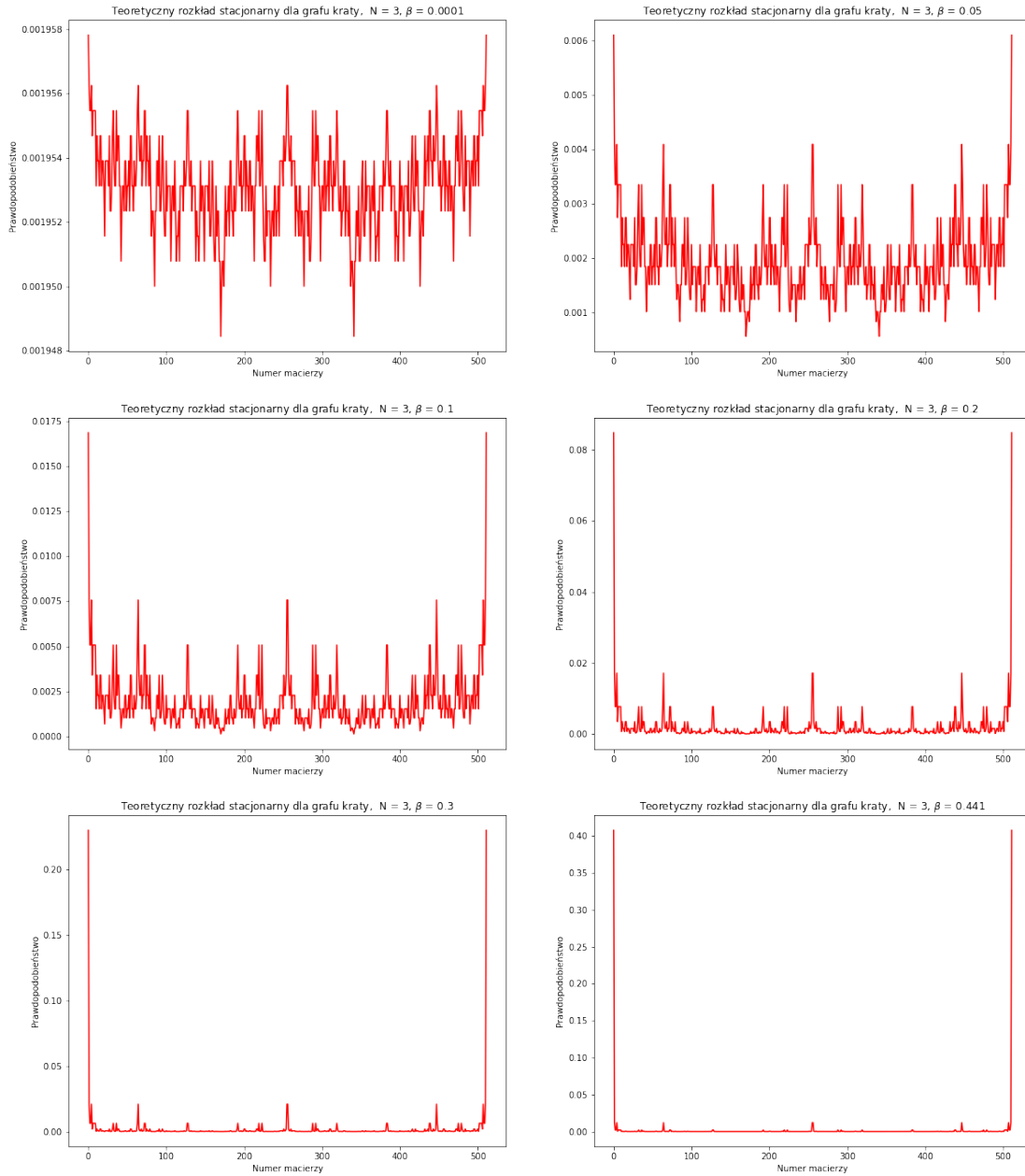


Przykładowy model Isinga uzyskany z algorytmu Proppa-Wilsona dla  $\beta=0.441$



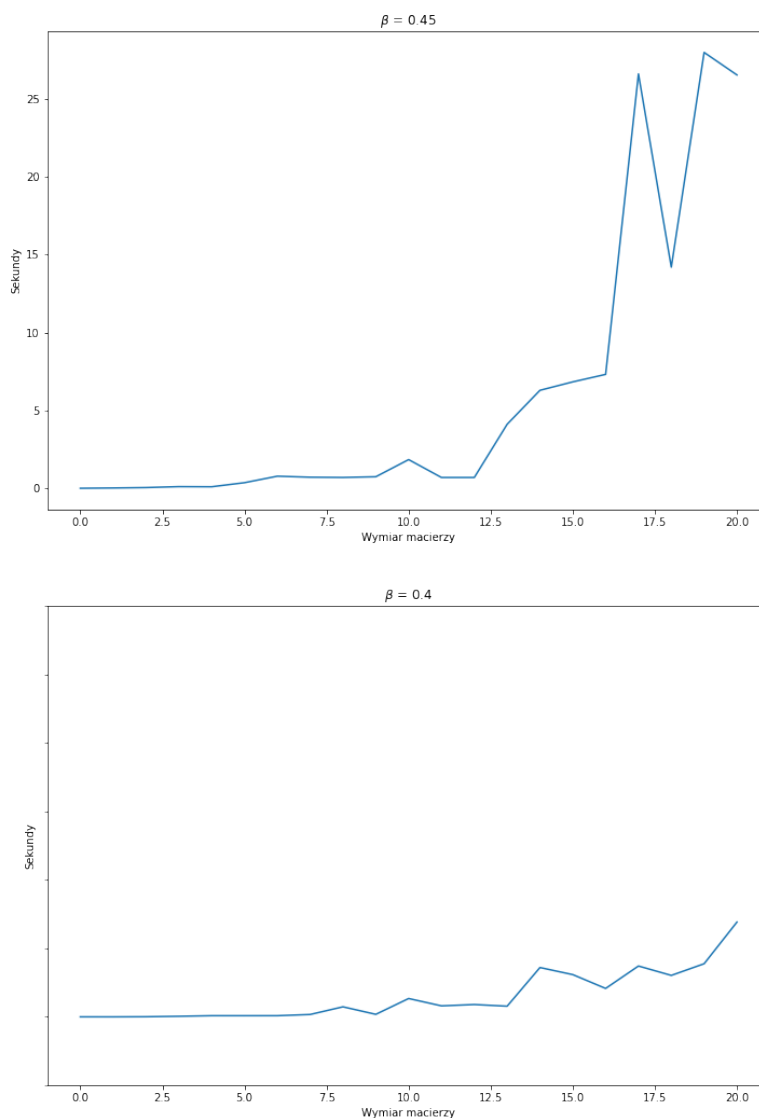
Powyżej przedstawiliśmy przykładowe macierze  $20 \times 20$ , które powstały na końcu algorytmu, dla poszczególnych  $\beta$ . Z fizyki wynika, że dla większych  $\beta$  powinny być większe skupiska jednego spinu, co dobrze obrazują te przykładowe wykresy.

## Rozkład stacjonarny w zależności od $\beta$



Chcieliśmy też zobaczyć, jaki wpływ ma  $\beta$  na rozkład stacjonarny i sprawdziliśmy to dla macierzy  $3 \times 3$ . Jak widać, wraz ze wzrostem  $\beta$  preferowane są stany ze spinami o takim samym znaku, ponieważ mają mniej energii.

Czas wykonania algorytmu w zależności od wymiaru dla poszczególnych  $\beta$



Z teorii wiemy, że dla  $\beta > 0.441$  powinny być problemy związane z kompilacją. Dla  $\beta = 0.45$  oraz  $\beta = 0.4$  zbadaliśmy, jakie macierze będą dłużej się liczyły niż 4 minuty. Dla  $\beta = 0.45$ , od  $N = 16$  czas wykonania rośnie wykładniczo z każdym powiększeniem wymiaru, w przeciwieństwie do przypadku  $\beta = 0.4$ , gdzie w miarę liniowo zwiększa się czas wykonania. Z tego wynika, że temperatura krytyczna równa  $\beta = 0.441$  istnieje, dla  $\beta > 0.441$  czas wykonania może być strasznie długi dla większych macierzy, lub algorytm może wcale się nie wykonać.

## 5 Bibliografia

- 1 Olle Häggström "Finite Markov Chains and Algorithmic Applications"